



## شبیه‌سازی عددی اسپری و احتراق و بررسی شکل گیری مخلوط لایه‌ای هوا و سوخت در موتور پاشش مستقیم بنزینی

سپیده سرمست سخویدی<sup>۱</sup>، امیرحسین شامخی<sup>۲\*</sup>، مسعود ضیابش رحق<sup>۲</sup>، امیرحسین پریور<sup>۳</sup>

۱- دانشجوی کارشناسی ارشد، مهندسی مکانیک، دانشگاه صنعتی خواجه نصیرالدین طوسی، تهران

۲- دانشیار، مهندسی مکانیک، دانشگاه صنعتی خواجه نصیرالدین طوسی، تهران

۳- کارشناسی ارشد، مهندسی مکانیک، شرکت تحقیق، طراحی و تولید موتور ایران خودرو (IPCO)، تهران

\* تهران، صندوق پستی 1999143344

### چکیده

هدف اصلی این مقاله، بررسی عددی شکل گیری مخلوط هوا و سوخت و پیوستگی‌های اسپری و احتراق در محفظه موtor EF7 مجهز به سیستم پاشش مستقیم سوخت از نوع هدایت اسپری است. برای این منظور، ابتدا یک انژکتور شش سوراخه در سه فشار پاشش 6، 10 و 20 MPa باسکال شبیه‌سازی و به منظور صحت‌سنجی پیوستگی‌های پاشش، از نتایج تجربی انسٹیتو موتوری ایتالیا استفاده شده‌است. سپس با قرارگیری انژکتور در نزدیکی شمع و تغییر زاویه قرارگیری آن نسبت به محور محفظه، زاویه مناسب برای شکل گیری مخلوط لایه‌ای مناسب بدست آمد است. در ادامه، اثر فشار پاشش سوخت، شروع پاشش اولیه و ثانویه و همچنین، اثر پاشش دو مرحله‌ای سوخت با نسبت‌های مختلف جرم سوخت در پاشش اولیه و ثانویه بر روی شکل گیری مخلوط، تشکیل فیلم سوخت روی دیواره و الیندگی موtor بررسی شده‌است. نتایج شبیه‌سازی نشان داد که زاویه قرارگیری انژکتور به دلیل تأثیر مستقیم آن بر جرم فیلم سوخت روی دیواره بهشت بر روی شکل گیری مخلوط، افزایش توان موtor و مقدار هیدروکربن‌های نسوزنده مؤثر است. همچنین، در پاشش دو مرحله‌ای سوخت، مخلوط نسبتاً همگن و قبیر نسبت به مخلوط لایه‌ای احتراق بهتری را در دور و بار متوجه موtor نتیجه می‌دهد.

### اطلاعات مقاله

مقاله پژوهشی کامل

دریافت: 01 دی 1395

پذیرش: 03 اسفند 1395

ارائه در سایت: 14 فروردین 1396

کلید واژگان:

دینامیک سیالات محاسباتی

شبیه‌سازی اسپری و احتراق

شکل گیری مخلوط لایه‌ای

موتور پاشش مستقیم بنزینی

## Numerical Simulation of Spray and Combustion and Investigation of Stratified Air-Fuel Mixture Formation in Gasoline Direct Injection Engine

Sepideh Sarmast Sakhvidi<sup>1</sup>, Amir Hossein Shamekhi<sup>1\*</sup>, Masoud ZiaBasharhagh<sup>1</sup>,  
Amir Hossein Parivar<sup>2</sup>

1- Department of Mechanical Engineering, Khaje Nasir Toosi University of Technology, Tehran, Iran

2- Combustion Development Department, IPCO, Tehran, Iran

\* P.O.B. 1999143344, Tehran, shamekhi@kntu.ac.ir

### ARTICLE INFORMATION

Original Research Paper

Received 21 December 2016

Accepted 21 February 2017

Available Online 03 April 2017

#### Keywords:

Computational Fluid Dynamics  
Gasoline Direct Injection Engine  
Spray and Combustion Simulation  
Stratified Mixture Formation

### ABSTRACT

The main aim of this paper is the numerical investigation of air-fuel mixture formation and spray and combustion characteristics of EF7 engine equipped with spray-guided direct injection system. For this purpose, first, a six-hole injector is simulated in three injection pressures 6, 10 and 20 MPa and to validate the fuel injection characteristics, the results are validated against the Istituto Motori-CNR experimental data. Then, the injector position is selected near the spark plug and by changing the injector angle relative to the axis of combustion chamber, the appropriate angle for optimization of mixture formation is obtained. Then, the effect of injection pressure, start of first and second injection as well as the effect of two-stage fuel injection with different ratios of fuel mass at first and second injection are studied on the mixture formation, wall film and engine emissions. The results showed that the injector angle is extremely effective on the mixture formation, pressure and the amount of unburned hydrocarbons due to its direct impact on wall film mass. Also, in the two-stage injection, relatively homogeneous lean mixture compared to the stratified mixture results in better combustion at part load condition.

که در آن سوخت به طور مستقیم به محفظه احتراق پاشش می‌شود [۱]. این نوع از احتراق یک راه حل امیدوارکننده برای کاهش شکاف بین موتورهای بنزینی و دیزل است تا دستیابی به پیوستگی‌های مثبت هر دو احتراق، از جمله کاهش ابعاد موtor، کاهش قیمت و مقدار سوخت مصرفی، افزایش بازده و

**۱- مقدمه**  
موتورهای اشتعال جرقه‌ای با پاشش مستقیم<sup>۱</sup> ترکیبی از دو موtor احتراق داخلی اشتعال جرقه‌ای (موtor بنزینی) و اشتعال تراکمی (موtor دیزل) است

<sup>1</sup> Direct Injection Spark Ignition Engine (DISI)

#### Please cite this article using:

S. Sarmast sakhvidi, A. H. Shamekhi, M. ZiaBasharhagh, A. H. Parivar, Numerical Simulation of Spray and Combustion and Investigation of Stratified Air-Fuel Mixture Formation in Gasoline Direct Injection Engine, *Modares Mechanical Engineering*, Vol. 17, No. 3, pp. 385-396, 2017 (in Persian)

برای ارجاع به این مقاله از عبارت ذیل استفاده نمایید:

مرحله‌ای سوخت مخلوطی غنی پیرامون شمع تشکیل می‌شود [2].

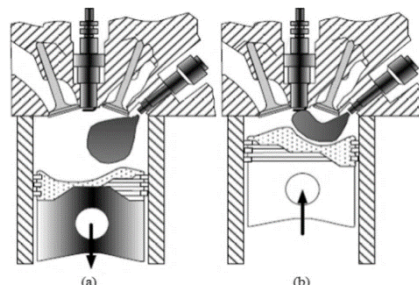
## 2- مروری بر ادبیات موضوع

چالش اصلی در تحقیق و توسعه موتورهای پاشش مستقیم بنزینی، نحوه شکل گیری مخلوط هوا و سوخت در محافظه احتراق است [4]. در میان سه روش کلی شکل گیری مخلوط در موتورهای پاشش مستقیم (شکل 2)، سیستم هدایت اسپری دستیابی به مخلوط قابل اشتغال در نزدیکی شمع در زمان جرقه‌زنی را تضمین می‌کند [5]. در سال‌های اخیر، تعیین مکان و زاویه مناسب انژکتور، زمان پاشش سوخت و به کارگیری پاشش‌های چند مرحله‌ای جهت دستیابی به مخلوط مناسب هوا و سوخت در موتورهای پاشش مستقیم بنزینی مورد مطالعه قرار گرفته است [8-6].

در سال 2009 آبر و همکارانش اثرات الگوی اسپری در شکل گیری مخلوط سوخت و هوا، توسعه جریان داخلی سیلندر و ترشدن دیواره موتورهای بنزینی پاشش مستقیم را در شرایط کاری مختلف مورد بررسی قرار دادند [9]. نتایج نشان داد بهینه‌سازی الگوی پاشش و جهت گیری جت‌ها در هر دو شرایط کاری بار جزئی و کامل در شکل گیری مناسب مخلوط اثر بهسازی دارد. در سال 2012، کاستا و همکارانش با بهینه‌سازی زمان پاشش یک و دو مرحله‌ای سوخت، دستیابی به مخلوط بهینه در یک موتور تک سیلندر جهت افزایش عملکرد و توان موتور پاشش مستقیم بنزینی را مورد مطالعه قرار دادند [7]. نتایج نشان می‌دهد که در پاشش یک مرحله‌ای سوخت، زاویه CA  $475^{\circ}$  و در پاشش دو مرحله‌ای، زاویه CA  $450^{\circ}$  با در نظر گرفتن زمان CA  $80^{\circ}$  بین پاشش اولیه و ثانویه، مناسب‌ترین زمان برای شروع پاشش سوخت در شرایط کاری بار جزئی موتور می‌باشد. در سال 2015، ژنگ و همکارانش تأثیر پاشش دو مرحله‌ای و زمان پاشش ثانویه را بر روی شکل گیری مخلوط هوا و سوخت لایه‌ای بررسی نمودند [8]. نتایج نشان داد زمان پاشش ثانویه مهمترین عامل مؤثر بر نسبت همارزی مخلوط در نزدیکی شمع است. همچنین، تعیین نسبت جرم سوخت پاشش شده در دو مرحله جهت دستیابی به بالاترین توان خروجی موتور از اهمیت بالایی برخوردار است، زیرا غنای بیش از حد مخلوط حول شمع در لحظه جرقه‌زنی سبب کاهش توان موتور می‌شود. بر اساس نتایج پژوهش فوق، در شرایط کاری مورد مطالعه، در نسبت همارزی سوخت به هوا ۱.۱ تا ۱.۲ حول شمع، احتراق به صورت کامل انجام می‌شود. در سال 2016، بوکاردی و همکارانش به کمک شبیه‌سازی یک بعدی و سه بعدی عملکرد موتور پاشش مستقیم را در شرایط کاری تمام بار و با مخلوط استوکیومتری مورد مطالعه قرار دادند [5]. در این پژوهش، زمان جرقه‌زنی و پاشش سوخت به منظور دستیابی به بیشترین توان خروجی و تولید کمترین مقدار اکسیدهای نیتروژن بهینه شده است. در سال 2016، کاستا و همکارانش با استفاده از شبیه‌سازی عددی و آزمایشگاهی (به کارگیری موتور با دسترسی نوری) به مطالعه احتراق موتور پاشش مستقیم بنزینی با مخلوط استوکیومتری و مخلوط رقیق و همگن پرداختند [10]. نتایج بدست آمده نشان می‌دهد که مخلوط ناهمگن در لحظه جرقه‌زنی مهمنترین عامل احتراق ناقص محسوب می‌شود. همچنین، مخلوط ناهمگن سبب گسترش شعله نامترنام می‌شود که می‌تواند منجر به خوداشتعالی مخلوط نسوخته در یک سمت محافظه و افزایش هیدروکربن‌های سوخته و دوده<sup>۶</sup> شود. در سال 2014، زمانی و همکارانش احتراق پاشش مستقیم موتور EF7 را برای دور 3000 دور بر دقیقه و فشار مؤثر متوسط ترمزی<sup>۷</sup> 1 بار مطالعه نمودند [11]. در این پژوهش، انژکتور با زاویه  $30^{\circ}$  در

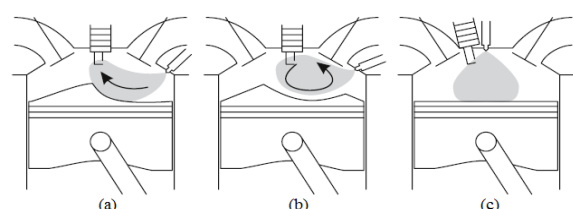
کاهش آلایندگی به طور همزمان امکان پذیر باشد. در حال حاضر، احتراق پاشش مستقیم با سیستم هدایت اسپری پتانسیل کافی برای کاهش مصرف سوخت و آلایندگاهای خروجی را دارد. درنتیجه، امروزه تمایل خودروسازان به سمت استفاده از موتورهای پاشش مستقیم بنزینی به جای موتورهای بنزینی پاشش راهگاهی است. اگرچه با قطعیت می‌توان گفت که احتراق پاشش مستقیم در موتورهای اشتغال جرقه‌ای یک مفهوم جدید نیست، اما دستیابی به چنین سیستم احتراقی و بهینه‌سازی مخلوط سوخت و هوا قبل از مرحله احتراق امری دشوار است. درنتیجه، مشکل ساخت و طراحی هرچه بهتر این سیستم احتراقی موجب تحقیقات و شبیه‌سازی این موتور در سال‌های اخیر شده است.

با توجه به زمان پاشش سوخت، دو نوع احتراق در موتورهای بنزینی پاشش مستقیم وجود دارد [2]: احتراق با مخلوط همگن<sup>1</sup> که در آن سوخت در مرحله مکش پاشش می‌شود تا زمان کافی برای اختلاط با هوا را داشته باشد (شکل 1-a)، و احتراق با مخلوط لایه‌ای که سوخت در انتهای مرحله تراکم پاشش می‌شود (شکل 1-b). همچنین، با توجه به محل قرارگیری انژکتور و روش هدایت سوخت به سمت شمع، سه روش اصلی برای احتراق موتور اشتغال جرقه‌ای پاشش مستقیم با مخلوط لایه‌ای، وجود دارد (شکل 2). در روش اول، سوخت از طریق پیستون کاسه‌ای شکل 2-a: هدایت ۲-a: هدایت سوخت از دیواره<sup>۲</sup> و در روش دوم، سوخت توسط جریان هوای چرخشی ورودی از راهگاه هوا به محافظه (شکل 2-b: هدایت با هوا<sup>۳</sup>)، به سمت شمع هدایت می‌شود. در هر دو روش فوق، انژکتور در قسمت جانبی محافظه نصب می‌شود. در روش سوم، انژکتور در موقعیت مرکزی سرسیلندر و در نزدیکی شمع قرار می‌گیرد (شکل 2-c: هدایت اسپری<sup>۴</sup>) و معمولاً با پاشش دیرهنگام و یا دو



شکل ۱ زمان پاشش متفاوت برای شکل گیری مخلوط در موتور پاشش مستقیم (a) مخلوط همگن، (b) مخلوط لایه‌ای [2].

اشتعال جرقه‌ای (a) مخلوط همگن، (b) مخلوط لایه‌ای [2].



شکل ۲ روش‌های مختلف هدایت سوخت به سمت شمع در احتراق لایه‌ای (a) هدایت با دیواره، (b) هدایت با هوا، (c) هدایت اسپری [3].

با دیواره، (b) هدایت با هوا، (c) هدایت اسپری [3].

<sup>1</sup> Homogeneous Charge

<sup>2</sup> Bowl Shaped Piston

<sup>3</sup> Wall Guided

<sup>4</sup> Air Guided

<sup>5</sup> Spray Guided

$$d_{mn} = \frac{\int_0^{\infty} f(d) d^m dd}{\int_0^{\infty} f(d) d^n dd} \quad (1)$$

$$\Pi_1 = \frac{d_{avg}}{D} = f(\Pi_2, \Pi_3, \Pi_4, \Pi_5) \quad (2)$$

$$\Pi_2 = \frac{\rho_g}{\rho_l} \quad (3)$$

$$\Pi_3 = \frac{\mu_g}{\mu_l} \quad (4)$$

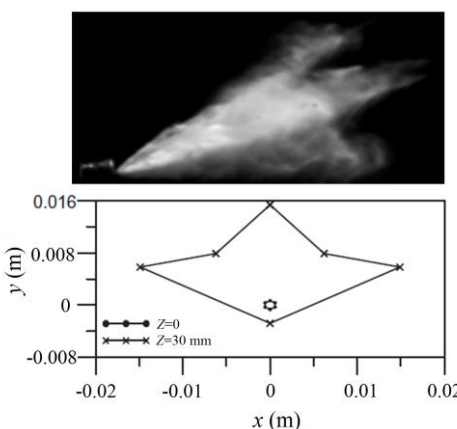
$$\Pi_4 = \frac{\rho_g u_{rel}^2 D}{\sigma} \quad (5)$$

$$\Pi_5 = \frac{\rho_l \sigma D}{\mu_l^2} \quad (6)$$

در این مقاله، اسپری انژکتور شش‌سوراخه با قطر نازل 0.193 میلی‌متر که داده‌های آزمایشگاهی آن، شامل نرخ جرمی پاشش در فشارهای مختلف، زاویه مخروطی اسپری، میانگین قطر اولیه قطرات در فروپاشی اولیه و جهت پاشش هر نازل از مقالات موجود استخراج شده [14]، با استفاده از نرم‌افزار فایر شبیه‌سازی شده‌است. شکل 3 تصویری از پاشش سوخت و جهت‌گیری جت‌ها در صفحه نازل‌ها و در فاصله 30 میلی‌متری از سر نازل‌ها را نشان می‌دهد. دامنه محاسباتی یک استوانه به شعاع 40 و ارتفاع 120 میلی‌متر است که مطابق با شرایط آزمایشگاهی، شامل گاز نیتروزن با دمای 298 کلوین و فشار 1 اتمسفر می‌باشد. برای بررسی استقلال حل از شبکه‌بندی، چهار شبکه متفاوت مطابق شکل 4 برای فشار پاشش 10 مگاپاسکال بررسی و طول نفوذ اسپری بدست آمده است. برای تخمین اندازه اولیه قطرات، می‌توان ازتابع توزیع لگاریتمی نرمال استفاده کرد. در این توزیع، قطر میانگین و انحراف از معیار باید معلوم باشد. رابطه نیمه‌تجربی (7) برای یافتن قطر میانگین و رابطه (8) انحراف از معیار را بر حسب فشار تعیین می‌کند [14]. رابطه (9) نیز تابع توزیع لگاریتمی نرمال را نشان می‌دهد. در روابط (7) تا (9)، کشش سطحی،  $\lambda^*$  طول موج بی‌بعد ناپایدارترین موج در سطح تماس مایع-گاز،  $\rho_g$  چگالی فاز بخار،  $u_{rel}$  سرعت نسبی جت مایع با گاز پیرامون، فشار پاشش سوخت،  $s$  انحراف از معیار و  $d_{avg}$  قطر میانگین قطرات است.

$$d_{avg} = C \frac{2\pi\sigma\lambda^*}{\rho_g u_{rel}^2} \quad (7)$$

$$s = 0.1(0.1P_{inj} - 1) + 0.5 \quad (8)$$



**Fig. 3** Spray image and holes distribution and spray footprint on a plane placed at 30 mm from the injector tip [14].

شکل 3 تصویر اسپری و توزیع سوراخ‌ها و جهت جت‌ها در فاصله 30 میلی‌متری از سر نازل‌ها [14].

قسمت جانبی محفظه قرار گرفته است. نتایج نشان داد که با 11% افزایش مصرف سوخت، توان خروجی در حالت پاشش یک مرحله‌ای سوخت در زاویه 47° CA 11% افزایش می‌یابد، اما مقایسه‌ای بین آلایندگی موتور پاشش مستقیم و پاشش راهگاهی صورت نگرفته است.

در مقاله پیش‌رو، ابتدا یک اسپری شش‌سوراخه با استفاده از نرم‌افزار ای‌وال فایر<sup>1</sup> شبیه‌سازی و نتایج حاصل با نتایج تجربی انتستیتو موتوری ایتالیا صحّه‌گذاری شده است. سپس، تأثیر پاشش مستقیم سوخت در موتور EF7 در شرایط کاری 3000 دور بر دقیقه و بار جزئی بر روی توان خروجی و مقادیر آلایندگی هر دو موتور را بررسی کرد. جهت شکل گیری مناسب مخلوط و بررسی پاشش چند مرحله‌ای، انژکتور در نزدیکی شمع تعییه و زاویه قرارگیری آن، زمان پاشش اولیه و ثانویه، اثر پاشش دو مرحله‌ای و همچنین اثر فشار پاشش بر روی شکل گیری مخلوط مورد مطالعه قرار گرفته است. لازم به ذکر است که در شبیه‌سازی‌های انجام‌شده بر روی موتور EF7، از همپوشانی سوپاپ‌های هوا و دود صرف نظر شده است [11]. در این مقاله، با در نظر گرفتن این همپوشانی می‌توان به دقت بالاتری از نتایج شبیه‌سازی دست یافت.

### 3- انواع رویکردها در شبیه‌سازی اسپری

در شبیه‌سازی اسپری، هر دو رویکرد اویلری<sup>2</sup> و لاگرانژی<sup>3</sup> کاربرد زیادی دارد. دارد. در روش اویلری، سیال مانند یک محیط پیوسته رفتار می‌کند در حالی‌که در رویکرد لاگرانژی، مدل سازی بر رidiابی مسیر قطرات متتمرکز است. یکی از ویژگی‌های بر جسته مدل اسپری لاگرانژی تمرکز آن بر فروپاشی جت مایع و قطره است. از آنجاکه در نزدیکی خروجی نازل اسپری غلظی<sup>4</sup> است، رویکرد لاگرانژی برای این ناحیه مناسب نیست. از طرفی، شبیه‌سازی اسپری رویکرد اویلری در نواحی دور از نازل که اسپری ریقق<sup>5</sup> است، توصیه نمی‌شود. بنابراین، شبیه‌سازی اویلری-لاگرانژی به طور کلی روشی ایده‌آل است. این روش نیازمند ایجاد شبکه‌ای متمایز در نزدیک نازل است که با شبکه اصلی (محفظه احتراق) سطوح مشترک دارد [12]. رویکرد متداول‌تر، روش مدل قطره گسسته<sup>6</sup> است که در آن فاز گازی اطراف از فرمول‌بندی اویلر و قطرات گسسته از دیدگاه لاگرانژی پیروی می‌کند. در این مقاله از این رویکرد استفاده شده است.

### 4- شبیه‌سازی اسپری

به منظور شبیه‌سازی اسپری معمولاً از تابع توزیع حول یک قطر مشخص و یا مدل‌های فروپاشی اولیه استفاده می‌شود. قطر میانگین ( $d_{avg}$ ) از فرمول (1) قابل محاسبه است [13] که در آن  $d$  قطر قطرات،  $f(d)$  تابع توزیع و  $m$  و  $n$  اعدادی ثابت است. اگر نسبت قطر میانگین ( $d_{avg}$ ) به قطر نازل ( $D$ ) را متغیر بی‌بعد  $\Pi_1$  و عوامل موثر بر مسئله را  $r_{avg}$ ،  $D$ ،  $d_{avg}$ ،  $\rho_l$ ،  $\rho_g$ ،  $\mu_l$ ،  $\mu_g$  و  $\sigma$  در نظر بگیریم، می‌توان پارامترهای بی‌بعد حاکم بر مسئله را بدست آورد. در این روابط،  $\Pi_4$  عدد ویر (We) بیانگر نسبت نیروهای دینامیکی گاز به کشش سطحی و  $\Pi_5$  عدد اونسورگ<sup>7</sup> (Oh) بیانگر نسبت نیروهای کشش سطحی به ویسکوزیته مایع می‌باشد.  $\rho_g$  و  $\mu_g$  به ترتیب چگالی و ویسکوزیته بخار،  $\rho_l$  و  $\mu_l$  به ترتیب چگالی و ویسکوزیته مایع،  $\sigma$  کشش سطحی و  $u_{rel}$  سرعت نسبی جت مایع نسبت به محیط گازی پیرامون است.

<sup>1</sup> AVL Fire

<sup>2</sup> Eulerian

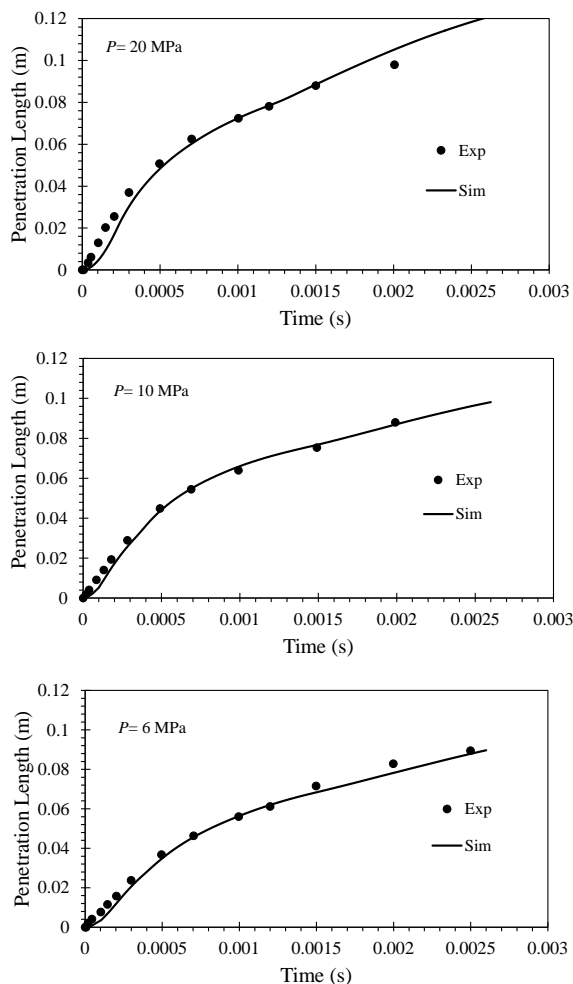
<sup>3</sup> Lagrangian

<sup>4</sup> Dense Spray

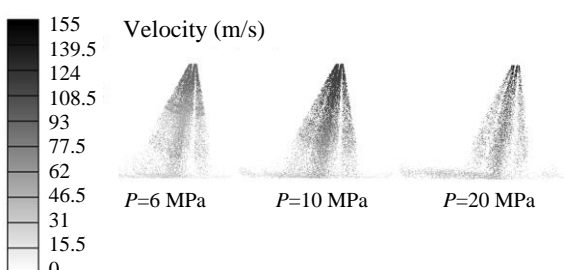
<sup>5</sup> Dilute Spray

<sup>6</sup> Discrete Droplet Model

<sup>7</sup> Ohnesorge Number



**Fig. 5** The spray penetration length in different injection pressure.  
شکل ۵ طول نفوذ اسپری در فشارهای مختلف پاشش.



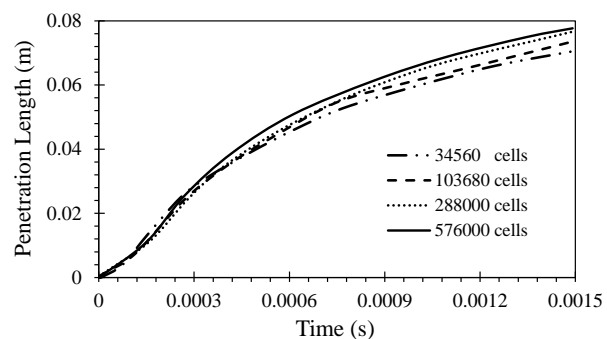
**Fig. 6** Spray droplet velocity at  $t = 0.5$  ms.  
شکل ۶ سرعت قطرات اسپری در  $t = 0.5$  ms

## 5- شبیه‌سازی دبی ورودی به محفظه و تعیین مدل‌های آشفتگی و احتراق

برای شبیه‌سازی ورود جریان هوا به محفظه احتراق، دبی جرمی لحظه‌ای به عنوان شرط مرزی در ورودی راهگاه هوا باید معلوم باشد. به دلیل در اختیار نبودن داده آزمایشگاهی، مقدار فوق با استفاده از شبیه‌سازی یک‌بعدی موتور در نرم‌افزار جی‌تی پاور<sup>۴</sup> بدست آمده است.

از آنجاکه شبیه‌سازی یک بعدی قادر به حل دقیق احتراق نمی‌باشد، لازم

<sup>4</sup> GT-Power



**Fig. 4** Investigation of independency on the grid size ( $P=10$  MPa).  
شکل ۴ بررسی استقلال از شبکه ( $P=10$  MPa)

$$f(d) = \frac{1}{d\sqrt{2\pi}s} \exp\left(-\frac{[\log(d) - \log(d_{avg})]^2}{2s^2}\right) \quad (9)$$

در شبیه‌سازی اسپری از مدل توربولانسی  $k-\epsilon$  استفاده شده است. حد همگرایی مومنتوم و نرخ اتلاف از مرتبه e-06 و انرژی جنبشی از مرتبه e-015 است. برای فروپاشی ثانویه از مدل ها-گاسمن<sup>۱</sup> (مناسب برای انژکتورهای چندسوراخه) [14]، برای تبخیر مدل داکوویکر<sup>۲</sup> [15] و برای برخورد قطرات مدل نوردین<sup>۳</sup> [16] استفاده شده است. ضرایب مدل ها-گاسمن در جدول ۱ آمده است. در شکل ۵ طول نفوذ اسپری در فشارهای مختلف پاشش نشان داده شده است. همانطور که انتظار می‌رود با افزایش فشار پاشش سوخت، طول نفوذ اسپری افزایش می‌یابد. شکل ۶ سرعت جت سوخت و شکل ۷ سرعت و بردارهای آن را در صفحه گذرنده از محور استوانه (ارتفاع استوانه پس از تعیین ضرایب مدل ها-گاسمن 20 میلی‌متر در نظر گرفته شده است) نشان می‌دهد. مطابق شکل ۶ و ۷، با افزایش فشار پاشش سوخت، سرعت خروج جت از نازل و مقدار سطح تردیواره افزایش می‌یابد. از آنجاکه با افزایش فشار پاشش، اتمیزه‌شدن سوخت و تبخیر آن بهتر انجام می‌شود، تعیین پارامترهای مؤثر بر تشکیل فیلم سوخت برای به کارگیری انژکتورهای فشار بالا (فشارهای پاشش حدود 5 تا 25 مگاپاسکال)، از اهمیت بالایی برخوردار است.

## 5- شبیه‌سازی احتراق موتور بنزینی پاشش راهگاهی

برای شبیه‌سازی احتراق، محفظه موتور EF7 با حجم 1645 سی‌سی در دور 3000 دور بر دقیقه و در دو شرایط کاری تمام بار و بار جزئی مورد مطالعه قرار گرفته است تا از کالیبرهای مدل احتراقی اطمینان حاصل شود.

### 5-1- نتایج آزمایشگاهی

در این مقاله، به منظور صحه‌گذاری نتایج شبیه‌سازی از نتایج آزمایشگاهی مرکز تحقیق، طراحی و تولید موتور ایران خودرو (اپکو) استفاده شده است. مشخصات موتور EF7 در جدول ۲ آمده است. جدول ۳ شرایط آزمون و جدول ۴ نتایج آزمایشگاهی آنالیز گازهای خروجی موتور را نشان می‌دهد.

**جدول ۱** ثابت  $C_1$  در مدل ها-گاسمن.

**Table 1** Huh-Gosman  $C_1$  constant.

$P_{inj}$ (MPa)	20	10	6
$C_1$	6	4	4

<sup>1</sup> Huh-Gosman

<sup>2</sup> Dukowicz

<sup>3</sup> Nordin

با خورانی شده<sup>۵</sup> و قسمت سوم ناحیه اختلاط است که شامل گازهای سوخته و نسوخته می‌باشد. مدل توربولانسی به پیشنهاد نرم‌افزار فایر k-zeta-f و برای سرعت شعله آرام از مدل متقالچی و کک<sup>۶</sup> [3] استفاده شده است. معیار همگرایی نیز از مرتبه e-06 می‌باشد. برای کوپل فشار- مومنتوم از الگوریتم SIMPLE-PISO<sup>۷</sup> استفاده شده است. الگوریتم فوق بدلیل مناسب‌بودن برای جریان‌های تراکم‌بندی و گذرا برای شبیه‌سازی احتراق توصیه می‌شود. در این مقاله، با توجه به مدل احتراقی و گونه‌های حاصل از احتراق، سیال داخل محفظه در لحظه شروع شبیه‌سازی به صورت محصولات ناشی از احتراق چرخه قبل در نظر گرفته شده است. همچنین، با در نظر گرفتن همپوشانی سوپاپ هوا و دود، خطای ناشی از شبیه‌سازی فشار محفوظه در مرحله مکش بسیار کم است. لازم به ذکر است که در خروجی راهگاه دود از فشار متوسط به عنوان شرط مزدی استفاده شده است.

### 5- بررسی استقلال حل از شبکه‌بندی

از آنجاکه موتور EF7 براساس زمان‌بندی پیوسته متغیر سوپاپ‌ها<sup>۸</sup> کار می‌کند، باید در هر شرایط کاری شبکه‌بندی مجزا ایجاد شود. برای بررسی استقلال حل از شبکه‌بندی، سه شبکه‌بندی مختلف (طبق شکل ۹) برای حالت بار کامل که مشخصات آن‌ها در جدول ۵ آمده است، مورد بررسی قرار

جدول 3 شرایط آزمون موتور EF7

Table 3 The EF7 engine test conditions.

مقادیر	پارامتر
3000	دور موتور (دور بر دقیقه)
4.015 (بار جزئی)	فشار مؤثر متوسط ترمی (بار)
11.045 (بار کامل)	زاویه بازشدن سوپاپ هوا
57 درجه قبل TDC (بار جزئی)	زاویه بسته‌شدن سوپاپ هوا
54 درجه قبل TDC (بار کامل)	زاویه بعد BDC (بار جزئی)
38 درجه بعد BDC (بار جزئی)	زاویه بسته‌شدن سوپاپ هوا
41 درجه بعد BDC (بار کامل)	زاویه بازشدن سوپاپ دود
45 درجه قبل BDC	زاویه بسته‌شدن سوپاپ دود
32 درجه بعد TDC	صرف سوخت (کیلوگرم بر ساعت)
4.899 (بار جزئی)	نسبت هم‌ارزی هوا به سوخت
12.373 (بار کامل)	دمای هوای ورودی (کلوین)
0.99 (بار جزئی)	فشار اولیه محفوظه (پاسکال)
0.901 (بار کامل)	
316.2 (بار جزئی)	
309.2 (بار کامل)	
106450 (بار جزئی)	
122150 (بار کامل)	

جدول 4 آنالیز گازهای خروجی

Table 4 Exhaust gas analysis.

بار کامل	بار جزئی	پارامتر
975.73	2003.67	اکسیدهای نیتروژن (NO <sub>x</sub> ) (PPM)
1172.8	943.1	هیدروکربن‌های نسوخته (UHC) (PPM)
12.68%	14.71%	دی‌اکسید کربن (CO <sub>2</sub> ) (درصد حجمی)
3.47%	0.64%	مونوکسید کربن (CO) (درصد حجمی)
0.07%	0.4%	اکسیژن (O <sub>2</sub> ) (درصد حجمی)

<sup>5</sup> Exhaust Gas Recirculation

<sup>6</sup> Metghalchi and keck

<sup>7</sup> Pressure Implicit With Splitting of Operators

<sup>8</sup> continues variable valve Timing(CVVT)

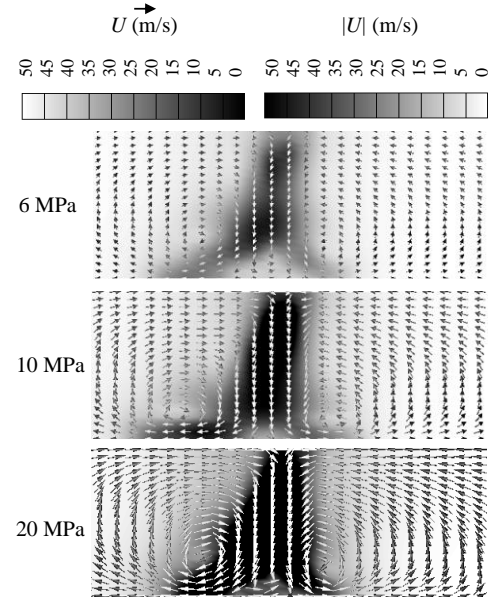


Fig. 7 Velocity in plate through the center of cylinder at  $t = 0.5$  ms.

شکل 7 سرعت در صفحه گذرنده از مرکز استوانه در  $t = 0.5$  ms.

جدول 2 مشخصات موتور EF7

Table 2 The EF7 engine specifications.

پارامتر	مقادیر
تعداد سیلندر	4
تعداد سوپاپ	16
قطر داخلی سیلندر (میلی‌متر)	78.6
کورس پیستون (میلی‌متر)	85
طول بازوی لنگ (میلی‌متر)	134.5
نسبت تراکم	11

است نرخ گرمای آزاد شده به عنوان الگوی احتراقی و رفتار آزادسازی حرارت درون سیلندر به نرم افزار داده شود. سپس، با تغییر ضرایب مجهول و شبیه‌سازی‌های متعدد الگوی احتراقی کالیبره می‌شود. پر واضح است که در شبیه‌سازی یک‌بعدی موتور، از دستگاه معادلات غیرلزج یک‌بعدی استفاده و اساساً جریان به صورت کاملاً توسعه‌یافته شبیه‌سازی می‌شود. فرض مذکور باعث ایجاد خطای کم و قابل قبولی (4.5 درصد) در جرم هوا و سوخت ورودی به محفظه احتراق می‌شود. در نرم‌افزار فایر برای کالیبره کردن احتراق مدل شعله منسجم<sup>۱</sup> و زیر شاخه<sup>2</sup> ECFM-3z می‌باشد و می‌تواند ضریب کشیدگی<sup>۳</sup> و چگالی سطحی شعله اولیه<sup>4</sup> به گونه‌ای تعیین شوند که فرآیند احتراق در دور و بار مربوطه پاسخی درست دهد. این مدل، احتراق همگن و غیرهمگن موتور بنزینی را به خوبی شبیه‌سازی می‌کند و قابلیت کوپل احتراق‌های رقیق‌سوز است [17]. در واقع مدل فوق به خوبی قابلیت کوپل شدن با اسپری را برای ایجاد احتراق لایه‌ای در موتورهای اشتغال جرقه‌ای بنزینی دارد. ضریب کشیدگی سرعت احتراق و چگالی سطحی شعله اولیه تأخیر در اشتغال را تعیین می‌کند. شکل 8 احتراق مدل ECFM-3z را با گونه‌های خروجی نشان می‌دهد [17]. این مدل احتراقی شامل سه ناحیه است: ناحیه‌ای شامل سوخت، ناحیه‌ای شامل هوا و گازهای خروجی

<sup>1</sup> Coherent Flame

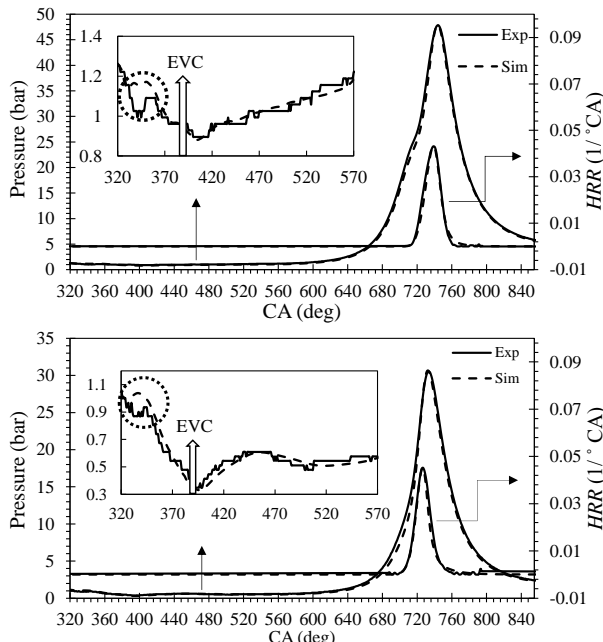
<sup>2</sup> Extended Coherent Flame Model-3 zone

<sup>3</sup> Stretch Factor

<sup>4</sup> Initial Flame Surface Density

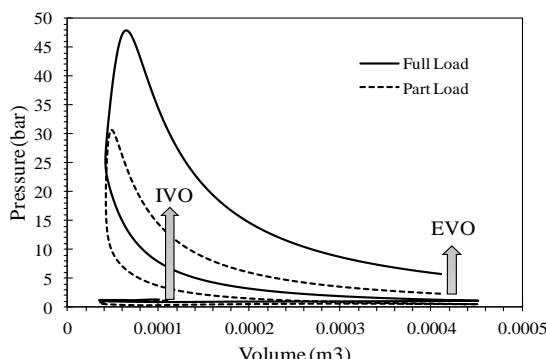
موجود در نمودار فشار برای زوایای همپوشانی سویاپ‌ها ناشی از قراردادن شرط مرزی فشار متوسط در خروجی راهگاه دود است که با توجه به دقت قابل قبول در ادامه شبیه‌سازی مرحله مکش، از آن صرف‌نظر شده است. شکل 11 منحنی فشار-حجم و جدول 6 آنالیز گازهای خروجی را نشان می‌دهد.

در شبیه‌سازی با نرم‌افزارهای دینامیک سیالات محاسباتی، مقدار سوخت



شکل 10 مقایسه نتایج شبیه‌سازی فشار و کسر مطلق گرمای آزاد شده با نتایج آزمایشگاهی: بار کامل (بالا) و بار جزئی (پایین).

شکل 10 مقایسه نتایج شبیه‌سازی فشار و کسر مطلق گرمای آزاد شده با نتایج آزمایشگاهی: بار کامل (بالا) و بار جزئی (پایین).

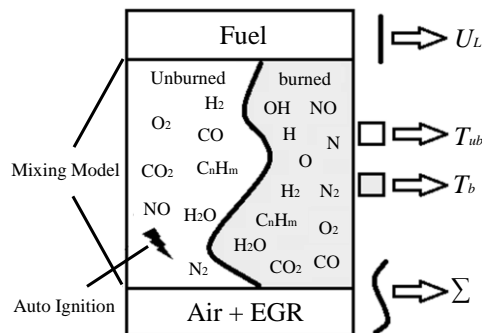


شکل 11 منحنی فشار-حجم.

شکل 11 منحنی فشار-حجم.

جدول 6 نتایج شبیه‌سازی آنالیز گازهای خروجی.

پارامتر	بار کامل	بار جزئی	
اکسیدهای نیتروژن (NO <sub>x</sub> ) (PPM)	993	1940	
دی اکسید کربن (CO <sub>2</sub> ) (درصد حجمی)	10.77%	12.59%	
مونوکسید کربن (CO) (درصد حجمی)	2.89%	0.57%	
اکسیژن (O <sub>2</sub> ) (درصد حجمی)	0.052%	0.35%	
نیتروژن (N <sub>2</sub> ) (درصد حجمی)	71.78%	71.56%	
آب (H <sub>2</sub> O) (درصد حجمی)	13.48%	13.47%	



شکل 8 مدل ECFM-3z [17].

شکل 8 مدل ECFM-3z [17].

گرفت. با توجه به نتایج، اختلاف ناچیزی بین شبکه 2 و 3 وجود دارد، بنابراین بهتر است برای کاهش هزینه محاسباتی از شبکه 2 که شامل ~800000 مولول در نقطه مرگ پایین<sup>1</sup> است، استفاده شود. استفاده از این شبکه سبب می‌شود نوساناتی در مقدار مانده‌های<sup>2</sup> حل عددی در برخی از گام‌های زمانی<sup>3</sup> زمانی مشاهده شود. از آنجاکه یک حل عددی باید پایداری<sup>4</sup> و دقت<sup>4</sup> کافی برای رسیدن به همگرایی (نه لزوماً همگرا بودن حل بلکه همگرایی به حل دقیق) را داشته باشد، در این پژوهش از شبکه 1 استفاده شده است تا در هر گام زمانی مانده‌های حل بدون نوسان پیوسته کاهش یابد.

#### 5-4- صحة‌گذاری نتایج

شکل 10 نتایج شبیه‌سازی و آزمایشگاهی فشار محفوظه احتراق و گرمای آزاد شده را مقایسه می‌کند. به منظور صحة‌گذاری نرخ گرمای آزاد شده از مقدار آزمایشگاهی فشار درون سیلندر و رابطه تجربی (10) استفاده شده است [18].

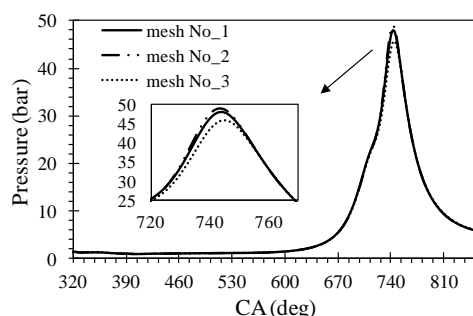
$$HRR = \frac{\gamma}{\gamma-1} P \frac{dV}{d\theta} + \frac{1}{\gamma-1} V \frac{dP}{d\theta} \quad (10)$$

که  $V$ ،  $P$  و  $\gamma$  به ترتیب فشار، حجم و نسبت گرمahای ویژه است. خطای

جدول 5 مشخصات شبکه‌های مورد استفاده.

Table 5 The specification of used meshes.

شبکه	تعداد سلول	بعاد سلول	بعاد سلول	زمان	ماکریم
فرش	~1300000	1	0.5	44	ساعت (بار)
	~800000	1	1	36	ساعت (بار)
	~550000	2	2	31	ساعت (بار)



شکل 9 استقلال حل از شبکه.

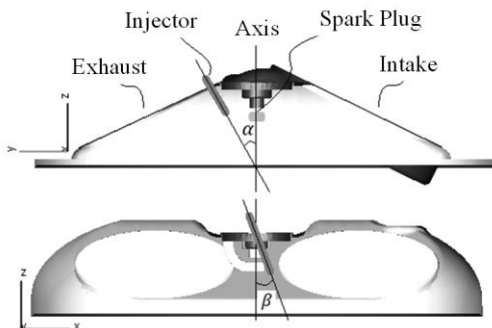
شکل 9 استقلال حل از شبکه.

<sup>1</sup> Bottom Dead Center (BDC)

<sup>2</sup> Residual

<sup>3</sup> Stability

<sup>4</sup> Accuracy

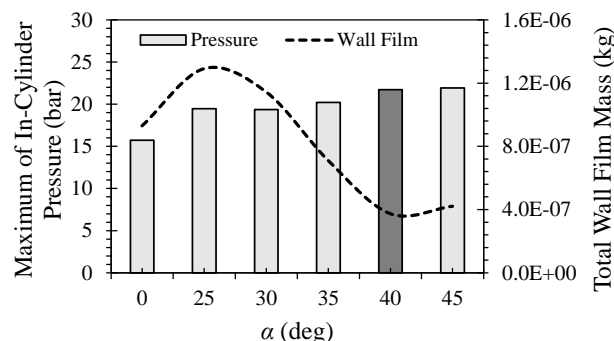


**شکل ۱۲** محل قرارگیری انژکتور در سرسیلندر موتور EF7.

راهگاهی آن در بخش ۵ انجام شد، استفاده می‌شود با این تفاوت که سوخت به طور مستقیم توسط انژکتور فشار بالا به محفظه احتراق پاشش می‌شود.

۱-۳-۶-۱- تأثیر زاویه فوارگیری نازل در صفحه  $z-z$  بر احتراق به دلیل متقاضی نبودن جهت جت‌ها و همچنین تشکیل مخلوط مناسب در لحظه جرقه‌زنی می‌باشد مناسب ترین زاویه جهت فوارگیری انژکتور در نزدیکی شمع تعیین گردد. شکل ۱۳ اثر تغییر زاویه  $\alpha$  را بر روی جرم فیلم سوخت روی دیواره در زاویه CA  $760^\circ$  و ماکریتم فشار احتراق نشان می‌دهد. در تمامی حالت‌ها سوخت در زاویه CA  $450^\circ$  و با فشار ۶ مگاپاسکال [6] پاشش شده است. با توجه به شکل ۱۳، زاویه  $\alpha = 40^\circ$  زاویه‌ای مناسب به جهت کاهش فیلم سوخت و افزایش توان خروجی است.

از آنجاکه جهت‌گیری جت‌های انژکتور نامتقارن است، در این بخش تأثیر زاویه  $\beta$  مورد بررسی قرار خواهد گرفت. برای این منظور، زوایای  $0^\circ$ ،  $10^\circ$ ،  $20^\circ$  و  $30^\circ$  انتخاب و شبیه‌سازی با پاشش یک مرحله‌ای سوخت در فشار پاشش 6 مگاپاسکال در زاویه  $CA = 450^\circ$  و زاویه  $\alpha = 40^\circ$  انجام شده است. شکل 14 اثر تغییر زاویه  $\beta$  بر روی جرم فیلم سوخت روی دیواره در زاویه  $CA = 760^\circ$  و ماکریتم فشار احتراق نشان می‌دهد. با توجه به نتایج شبیه‌سازی، زاویه  $\beta = 10^\circ$  مناسب‌ترین زاویه در بین حالات شبیه‌سازی شده است. با توجه به این موضوع، شبیه‌سازی برای دو زاویه  $8.5^\circ$  و  $11.5^\circ$  انجام نتایج نشان داد که زاویه  $10^\circ$  کمترین جرم فیلم سوخت را نسبت به زوایای مجاور خود دارد.



**Fig. 13** The effect of angle  $\alpha$  on wall film mass and maximum of cylinder pressure ( $P_{ini} = 6$  MPa, SOI 450 CA).

**شكل 13** تأثیر زاویه  $\alpha$  بر جرم فیلم سوخت روی دیواره و مکانیزم فشار احتراق  
 $(P_{inj} = 6 \text{ MPa}, \text{SOI } 450 \text{ CA})$

نحوخته به عنوان تنها عامل تولید هیدروکربن‌های نسوخته شاخته می‌شود در حالی که در شرایط آزمایشگاهی عوامل دیگری چون مقدار سوختی که در ناحیه بین پیستون و رینگ‌ها قرار می‌گیرد نیز از عوامل تولید هیدروکربن‌های نسوخته است. بنابراین، شبیه‌سازی هیدروکربن‌های نسوخته به‌علت تعدد عوامل دخیل در تولید آن به وسیله نرم‌افزارهای موجود ممکن نیست.

#### 6- شبیه‌سازی احتراق موتور بنزینی پاشش مستقیم

در این بخش، احتراق پاشش مستقیم موتور EF7 بررسی می‌شود. از آنجاکه تشکیل مخلوط بهینه سوخت و هوا از اهمیت بالایی برخوردار است، سعی شده است اثر زاویه انژکتور، فشار و زمان پاشش سوخت و پاشش دو مرحله‌ای به منظور تشکیل مخلوط مناسب در لحظه جرقه‌زنی، پرسه، گرد.

-6- معاذلات حاکم

در موتورهای پاشش مستقیم به دلیل پاشش اسپری درون محفظه احتراق، ترم هایی به روابط پایستگی جرم، مومنتوم و انرژی اضافه می گردد [19]. فرم دیفرانسیلی روابط به صورت زیر می باشد (۲) بیانگر جهت مختصات است.

- معادله پایستگی جرم

$$\frac{\partial \rho}{\partial t} + \sum_i \frac{\partial}{\partial x_i} (\rho v_i) = S_m \quad (11)$$

که  $S_m$  تولید جرم به واسطه تبخیر قطرات اسپری است.

- معادله پایستگی مومنتوم (معادله ناویر-استوکس)

$$\frac{\partial(\rho v_i)}{\partial t} + \sum_{j=1}^3 \frac{\nu_j \partial(\rho v_i)}{\partial x_j} = \sum_{j=1}^3 \frac{\partial \tau_{ij}}{\partial x_j} - \frac{\partial P}{\partial x_i} + \rho F_{V,i} + F_{p,i} \quad (12)$$

برای سیالات نیوتونی از رابطه (13) بدست می‌آید که در آن  $\delta_{ij}$  دلتای کرونکر است. همچنین  $F_{V,i}$  بیانگر نیروهای حجمی است.  $F_{p,i}$  نیز عمدتاً به نیروی فشاری در جریان دو فاز اشاره دارد.

$$\tau_{ij} = \mu \left( \frac{\partial v_i}{\partial x_j} + \frac{\partial v_j}{\partial x_i} - \frac{2}{3} \cdot \frac{\partial v_k}{\partial x_k} \delta_{ij} \right) \quad (13)$$

- معادله پایستگی انرژی

$$\frac{\partial(\rho h)}{\partial t} + \sum_{j=1}^3 \frac{\partial(\rho v_j h)}{\partial x_j} = \sum_{j=1}^3 \frac{\tau_{ij} \partial v_i}{\partial x_j} + \frac{\partial P}{\partial t} + v_i \frac{\partial P}{\partial x_i} - \sum_i \frac{\partial \dot{q}_i}{\partial x_i} + S_h \quad (14)$$

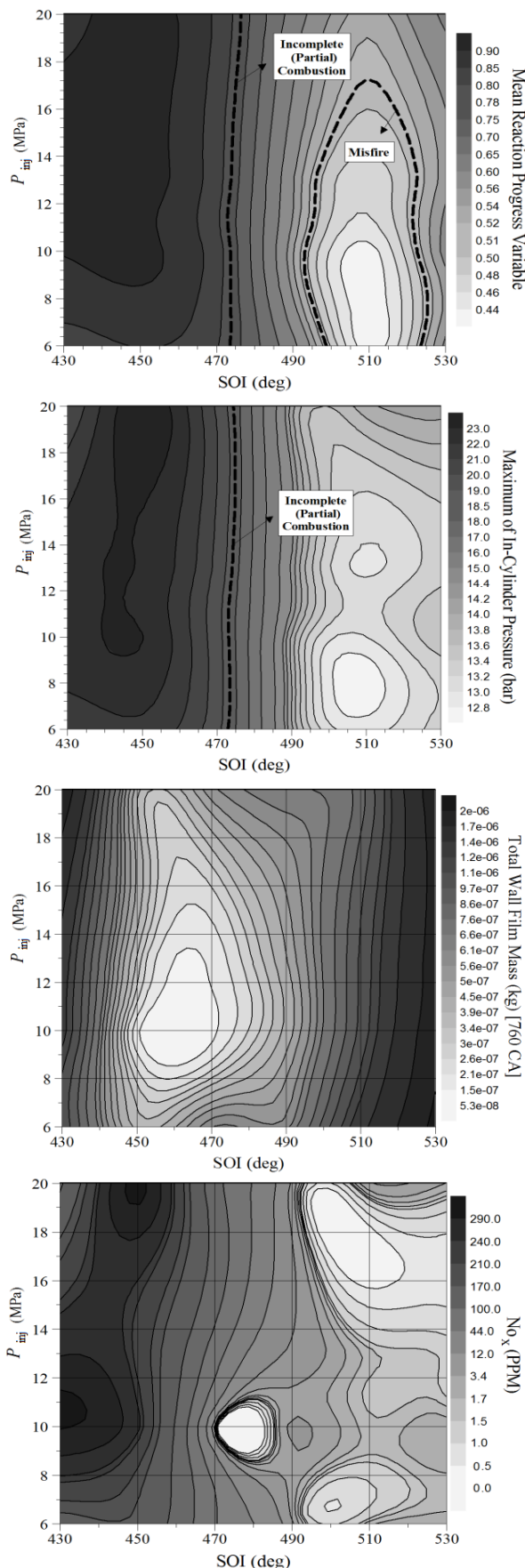
که  $h$  آنتالپی بر واحد جرم و برابر  $e + \frac{P}{\rho}$  است.  $e$  نیز انرژی داخلی بر واحد جرم است.  $\dot{q}_i$  شار حرارتی در جهت  $i$  به واسطه گردایان دما است که از قانون فوریه برابر  $k \frac{\partial T}{\partial x_i}$  است که  $k$  ضریب هدایت حرارتی سیال می‌باشد.  $S_h$  نیز تولید انرژی به واسطه جرم تیخیرشده قطرات است.

## ۶-۲- احتراق هدایت اسپری

در این نوع احتراف، انژکتور در نزدیکی شمع قرار می‌گیرد و زاویه آن نسبت به محور محفظه احتراف می‌تواند تاثیر بهسزایی بر شکل گیری مخلوط هوا و سوخت و مقدار ترشیدن دیواره داشته باشد. همچنین قرارگیری انژکتور در نزدیکی شمع امکان پاشش دو مرحله‌ای سوخت برای ایجاد مخلوط لایه‌ای را مهیا می‌کند. بنابراین در این مقاله محل انژکتور برای هدایت اسپری در بالای سس سلولنده انتخاب شده است (شکا، 12).

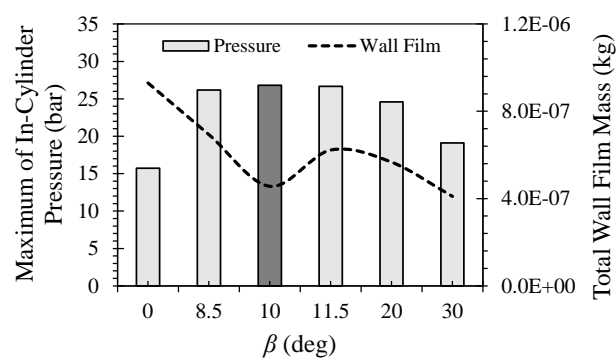
### ۶-۳- شرایط کاری دور متوسط - بار متوسط

برای این منظور، از نتایج احتراق بار جزئی که شبیه‌سازی احتراق پاشش



**Fig. 15** Comparison of combustion parameters at different time and pressure fuel injection.

**شکل ۱۵** مقایسه با امتیهای احتراقی، در زمان و فشار مختلف باشش سوخت.



**Fig. 14** The effect of angle  $\beta$  on wall film mass and maximum of cylinder pressure ( $P_{\text{inj}} = 6 \text{ MPa}$ , SOI 450 CA,  $\alpha = 40^\circ$ ).

شکل ۱۴ تأثیر زاویه  $\beta$  بر جرم فیلم سوخت روی دیواره و مکانیزم فشار احتراق  
 $(P_{ini} = 6 \text{ MPa}, \text{SOI } 450 \text{ CA}, \alpha = 40^\circ)$

۳-۳-۳- تأثیر شروع پاشش و فشار پاشش سوخت بر احتراق  
 برای یافتن بهترین زمان پاشش، سوخت در سه فشار ۶، ۱۰ و ۲۰ مگاپاسکال  
 و در زمان ۴۳۰ تا ۵۳۰ درجه میل لنگ (هر ۱۰ درجه میل لنگ) پاشش شده  
 است. پاشش زودهنگام تر سبب افزایش فیلم سوخت و درنتیجه کاهش  
 مکزینم فشار محفظه می‌گردد. همچنین در پاشش یک مرحله‌ای سوخت،  
 تأخیر در پاشش مانع از تشکیل مخلوط مناسب در لحظه جرقه‌زنی می‌شود.  
 شکل ۱۵ تأثیر زمان پاشش سوخت را بر متغیر متوسط پیشرفت واکنش  
 (بینانگ احتراق کامل و سوختن کامل سوخت برای مقدار برابر یک)، مکزینم  
 فشار احتراق، جرم فیلم سوخت و اکسیدهای نیتروژن نشان می‌دهد. با توجه  
 به نتایج، زاویه شروع پاشش CA ۴۵° در هر سه فشار پاشش منجر به تولید  
 بیشترین توان خروجی (به دلیل کاهش جرم فیلم سوخت روی دیواره در این  
 زاویه) می‌شود. مقدار اکسیدهای نیتروژن به دلیل احتراق ناقص و کاهش  
 دمای ناشی از احتراق در بیشتر حالت‌های شبیه‌سازی، بسیار کم بست  
 آمده است. لازم بهذکر است که در نمودارهای شکل ۱۵، نسبت همارزی هوا به  
 سوخت برابر ۱.۰۳ می‌باشد که این افزایش نسبت به حالت پاشش راهگاهی  
 به دلیل ورود هوا بیشتر در موتور پاشش مستقیم است. با توجه به شکل ۱۶،  
 پس از تعیین زاویه انزکتور ( $\alpha = 40^\circ$ ,  $\beta = 10^\circ$ ) و زمان پاشش سوخت  
 (۴۵۰ CA)، فشار پاشش ۱۰ مگاپاسکال بهترین عملکرد را در احتراق دور و  
 با متوسط موتور دارد.

این نتیجه را این‌گونه می‌توان توجیه کرد که در فشار پاشش 10 مگاپاسکال سوخت به خوبی اتمیزه و تبخیر می‌شود و علاوه بر این، مقدار جرم فیلم سوخت در این فشار پاشش نسبت به دو فشار دیگر کمتر است. شکل 17 این موضوع را به خوبی نشان می‌دهد. در این شکل نسبت همارازی سوخت به هوا در صفحه‌ای به فاصله 60 سانتی‌متری از ناحیه تخت سرسیلندر (اسکوئیش)، بیس، ایزیابان پاشش، سوخت نشان داده شده است.

۶-۳-۴- تأثیر زمان جرقهزنی بر احتراق  
در موتورهای پاشرش مستقیم بزینی، به دلیل ورود جریان هوای بیشتر به درون محفظه و در نتیجه تشکیل مخلوطی با نسبت هوا به سوخت بیشتر (در این مقاله ۱۵.۳۶ برا پاشرش یک مرحله‌ای سوخت) می‌توان با افزایش آواتس جرقه<sup>۱</sup> بر توان خروجی حاصل از احتراق افزود. جرقهزنی زودهنگام به دلیل احتمال خوداشتعالی مخلوط نسوخته پیش از رسیدن جبهه شعله به آن ممکن است سبب کویش شود، بنابراین انتخاب دقیق زمان جرقهزنی از

---

<sup>1</sup> Spark Advance (SA)

جدول 8 مقایسه پارامترهای عملکردی موتور برای حالت‌های مختلف جرقه‌زنی.

GDI 4	GDI 3	GDI 2	GDI 1	PFI	پارامتر
1820	1420	1095	627	2000	(PPM) اکسیدهای نیتروژن
0.51	0.43	0.43	0.48	0.59	(٪) مونوکسید کربن
11.83	11.76	11.75	11.69	12.59	(٪) دی‌اکسید کربن
5.26	5.31	5.28	5.18	5.05	فشار مؤثر متوسط
1.045	1.045	1.045	1.045	1.045	اندیکاتوری (بار)
					لامبда

برتری دارد. حالت‌های 2 GDI و 3 GDI به ترتیب با کاهش 45 و 29 درصدی اکسیدهای نیتروژن، کاهش 28 درصدی مونوکسید کربن، کاهش 6.6 درصدی دی‌اکسید کربن و افزایش 4.32 و 4.82 درصدی فشار متوسط مؤثر اندیکاتوری بیشترین افزایش توان خروجی را دارند. همچنین با شبیه‌سازی موتور پاشش راهگاهی با نسبت همارزی 0.99 (شرایط آزمون 5.242 موتور پاشش راهگاهی) مقدار فشار مؤثر متوسط اندیکاتوری برابر است. این موضوع نشان می‌دهد که با مصرف سوخت یکسان در هر دو احتراق پاشش راهگاهی و مستقیم، علاوه‌بر افزایش توان موتور در حالت پاشش مستقیم، بازده تنفسی موتور نیز افزایش یافته است.

5-5-3-6- تأثیر زمان شروع پاشش مرحله دوم سوخت بر احتراق پاشش دو مرحله‌ای سوخت سبب شکل گیری بهتر مخلوط سوخت و هوا در موتورهای پاشش مستقیم می‌شود. به طور کلی با افزایش بار موتور استفاده از پاشش زودهنگام جهت تشکیل مخلوط همگن و افزایش توان و در بارهای بسیار کم و شرایط درجا، پاشش دیرهنگام جهت تشکیل مخلوط غنی حول شمع و کاهش مصرف سوخت توصیه می‌شود. در این مقاله سعی شده است اثر زمان پاشش مرحله دوم سوخت و نسبت‌های مختلف جرم سوخت پاشش شده در دو مرحله مورد بررسی قرار گیرد. برای این منظور، فشار پاشش 10 مگاپاسکال، زمان پاشش اولیه CA 450° انتخاب و 70 درصد سوخت در مرحله اول و 30 درصد مابقی در مرحله دوم پاشش شده است. در شکل 18 نسبت همارزی در صفحه‌های گذرنده از شمع و مقدار اکسیدهای نیتروژن در لحظه بازشدن سوپاپ دود برای زمان‌های مختلف پاشش مرحله دوم سوخت نشان داده شده است. شکل 19 نیز فشار محفوظه را در این حالت‌ها نشان می‌دهد. با توجه به شکل 18، با تأخیر در پاشش ثانویه (CA 620° تا 640°) مخلوطی غنی با نسبت همارزی بالاتر از 1.6 حول شمع تشکیل می‌شود، اما نتایج فشار محفوظه نشان می‌دهد که تشکیل مخلوط همگن می‌تواند احتراق بهتری را ایجاد کند.

6-3-6- تأثیر نسبت سوخت پاشش شده در پاشش دو مرحله‌ای بر احتراق در این بخش تأثیر نسبت جرم سوخت پاشش شده در هر مرحله از پاشش بر نسبت همارزی حول شمع در لحظه جرقه‌زنی، فشار محفوظه و مقدار اکسیدهای نیتروژن در لحظه بازشدن سوپاپ دود بررسی شده است. برای این منظور پاشش اولیه در CA 450° و ثانویه در CA 500° انجام شده است. نسبت جرم سوخت در پاشش اولیه به ثانویه از مقدار 0%-100% (بیانگر پاشش یک مرحله‌ای در زاویه CA 450°) تا 100%-0% (بیانگر پاشش یک مرحله‌ای در زاویه CA 500°) تغییر داده شده است. شکل 20 نسبت همارزی در لحظه جرقه‌زنی و مقدار اکسیدهای نیتروژن در لحظه بازشدن سوپاپ دود و شکل 21 فشار محفوظه را برای حالت‌های بررسی شده نشان می‌دهد. با

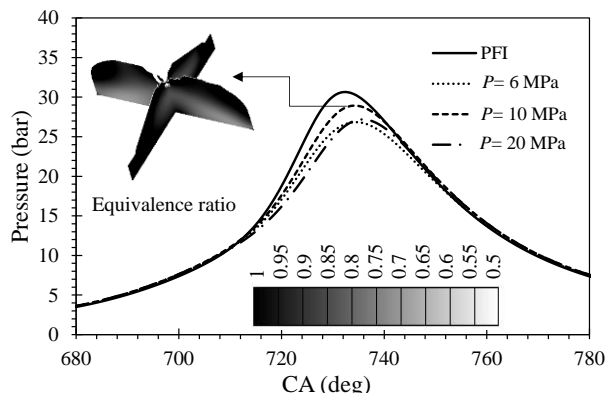


Fig. 16 The effect of injection on in-cylinder pressure.

شکل 16 تأثیر فشار پاشش سوخت بر فشار محفوظه احتراق.

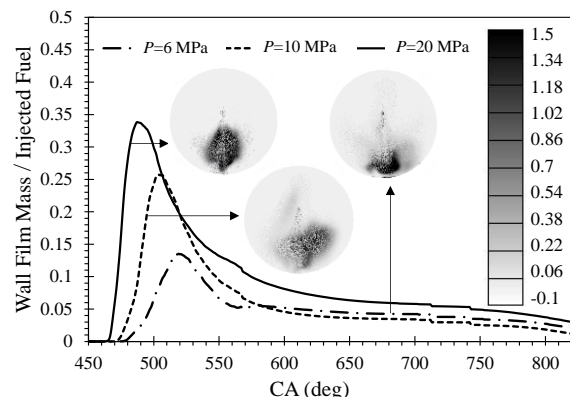


Fig. 17 The effect of injection pressure on wall film mass.

شکل 17 تأثیر فشار پاشش سوخت بر جرم فیلم سوخت.

1- اهمیت زیادی برخوردار است. برای این منظور، از مدل خوداستعالی تحریبی در نرم افزار فایر استفاده شده است. این مدل برای خوداستعالی انواع احتراق قابل استفاده است و به مقدار گازهای بازخوارانی شده، دما و کسر مولی مخلوط وابسته است. در جدول 7 حالت‌های مورد بررسی موتور پاشش مستقیم که تنها در لحظه جرقه‌زنی تفاوت دارند آمده است. جدول 8 نیز نتایج توان خروجی و آلایندگی موتور پاشش مستقیم را برای چهار زمان جرقه‌زنی و در مقایسه با موتور پاشش راهگاهی نشان می‌دهد. برای مقایسه توان خروجی، فشار متوسط مؤثر اندیکاتوری ناچالص<sup>۲</sup> (از لحظه بستشدن سوپاپ دود) تا جابجایی، و  $V$  به ترتیب فشار و حجم لحظه‌ای محفوظه است.

$$(gIMEP)_{\text{close valves}} = \frac{1}{V_d} \int_{\text{IVC}}^{\text{EVO}} P dV \quad (15)$$

با توجه به نتایج جدول 8، برای پاشش یک مرحله‌ای سوخت، تمام حالت‌های بررسی شده موتور پاشش مستقیم نسبت به موتور پاشش راهگاهی

جدول 7 زمان‌های مختلف جرقه‌زنی.

Table 7 Different ignition timings.

زمان جرقه‌زنی	حالت
690.15	GDI 1
686.15	GDI 2
683.15	GDI 3
680.15	GDI 4

<sup>1</sup> Empirical Knock Model<sup>2</sup> Gross Indicated Mean Effective Pressure

راهگاهی و مستقیم، علاوه بر افزایش توان موتور در حالت پاشش مستقیم، بازده تنفسی موتور نیز افزایش یافته است.

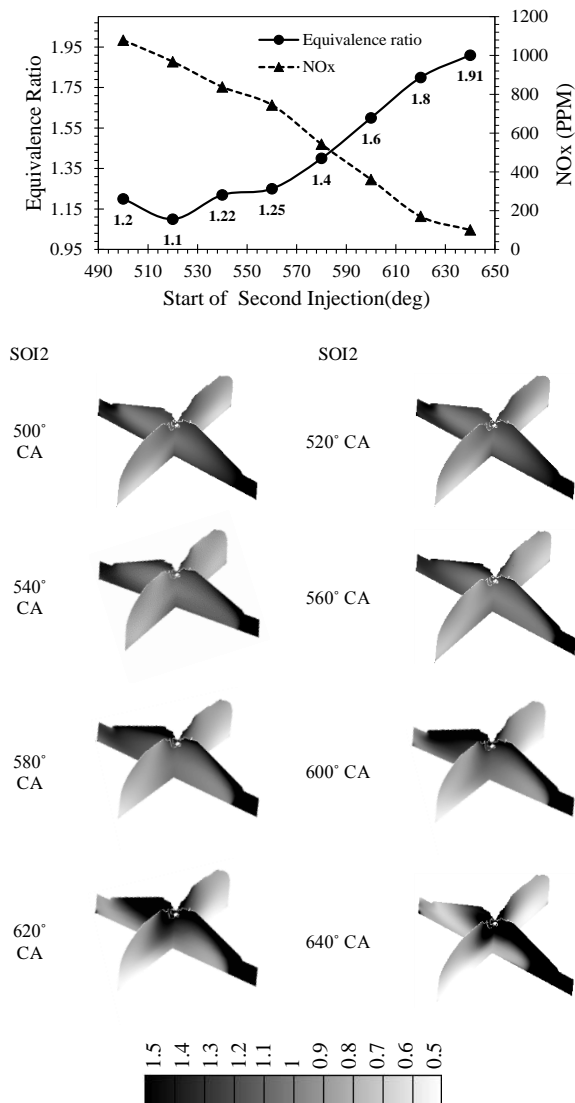


Fig. 18 The equivalence ratio near the spark plug at ignition timing and NO<sub>x</sub> emission at exhaust valve opening for different start of secondary injection.

شکل 18 نسبت همارزی در نزدیکی شمع در لحظه جرقزنی و مقادیر اکسیدهای نیتروژن در لحظه باز شدن سوپاپ دود برای زمان‌های مختلف پاشش ثانویه.

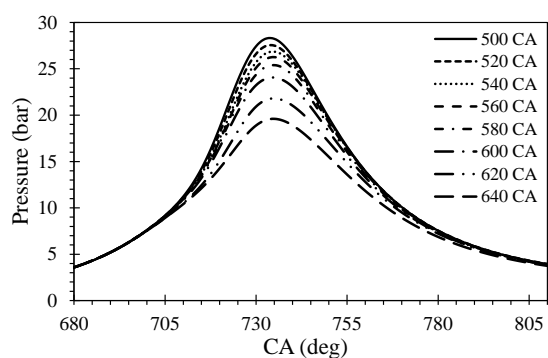


Fig. 19 The effect of start of secondary injection on in-cylinder pressure.

شکل 19 تأثیر زمان پاشش ثانویه بر فشار محفظه.

توجه به نتایج شکل 20، در نسبت‌های 80%-20% و 90%-10% مخلوط تشکیل شده همگن‌تر است. این در حالی است که در نسبت‌های 10%-90% و 20%-80% یک سمت محفظه بسیار رقیق‌تر از سمت دیگر آن است. با توجه به شکل 21، نسبت 20%-80% می‌توارد توان بیشتری نسبت به نسبت‌های دیگر ایجاد کند اما افزایش این توان نسبت به پاشش یک مرحله‌ای سوخت بسیار ناچیز است در حالی که اکسیدهای نیتروژن در این حالت بیشتر است. در جدول 9 مشخصات عملکردی و مقادیر آلایندگی موتور در سه حالت پاشش راهگاهی، پاشش یک مرحله‌ای سوخت در 450° CA و پاشش دو مرحله‌ای با نسبت‌های پاشش 80%-20% و 90%-10% مقایسه شده است.

## 7- نتیجه گیری

در این مقاله اسپری فشار بالای چندسوراخه و احتراق پاشش راهگاهی و پاشش مستقیم موتور EF7 در شرایط کاری 3000 دوربردیقه و فشار مؤثر متوسط ترمی 4bar با استفاده از نرمافزار ایوال فایر و به صورت سه‌بعدی شبیه‌سازی شده است. در این مقاله سعی شده است تأثیر زاویه انژکتور، فشار پاشش سوخت، زمان پاشش اولیه و ثانویه سوخت و همچنین تأثیر نسبت‌های مختلف جرم سوخت پاشش شده در دو مرحله بر عملکرد و مقادیر آلایندگی موتور بررسی شود. در ادامه به نتایج بدست آمده اشاره شده است.

(الف) نتایج شبیه‌سازی پاشش یک مرحله‌ای نشان داد که زاویه قرار گیری انژکتور تأثیر زیادی بر جرم فیلم سوخت روی دیواره و بهدبال آن مقادیر ماقریم فشار محفظه و در نتیجه توان خروجی موتور دارد. در این مقاله زاویه  $\alpha = 40^\circ$  و  $\beta = 10^\circ$  در صفحه  $y - z$  و  $\gamma = 10^\circ$  در صفحه  $x - z$  باعث تشکیل حداقل فیلم سوخت و بیشترین توان خروجی موتور می‌شود.

(ب) با قطعیت می‌توان گفت در موتورهای اشتعال تراکمی افزایش فشار پاشش به دلیل اتمیزه شدن بهتر سوخت در پاشش دیرهنگام سبب عملکرد بهتر موتور می‌شود. در موتور پاشش مستقیم بنزینی تنها زمانی فشار پاشش اهمیت پیدا می‌کند که پاشش دیرهنگام و در مرحله تراکم انجام شود [10].

بنابراین در شرایط دور و بار متوسط موتور که معمولاً پاشش زودهنگام انجام می‌شود، زمان کافی برای تبخیر سوخت پارامتر مهم است و اتمیزه شدن و فشار پاشش تأثیر کمتری بر نتایج دارد. در این مقاله، در فشار پاشش 10 مگاپاسکال، جرم فیلم سوخت نسبت به فشار پاشش 20 مگاپاسکال کمتر است و در نتیجه توان خروجی بهتری را نتیجه می‌دهد.

(ج) نتایج نشان داد که بهترین زمان پاشش یک مرحله‌ای در هر سه فشار پاشش 450° CA است. در این زمان پاشش، مخلوطی نسبتاً همگن و رقیق با نسبت همارزی بالاتر از یک حول شمع (حدود 1.1) و رقیق‌تر در نواحی دورتر در محفظه احتراق تشکیل می‌شود. در فشار پاشش 10 مگاپاسکال برای حالت 2 GDI و 3 GDI (مطابق مقادیر جدول 7)، به ترتیب با کاهش 27.8 و 28 درصدی مونوکسید کربن، کاهش 45 و 29 درصدی اکسیدهای نیتروژن و افزایش 4.32 و 4.82 درصدی فشار متوسط مؤثر انديکاتوري نسبت به حالت‌های دیگر برتری دارد. نتایج شبیه‌سازی موتور پاشش راهگاهی با نسبت همارزی هوا به سوخت 0.99 (شرایط آزمون موتور پاشش راهگاهی) نشان داد که مقدار فشار مؤثر متوسط انديکاتوري برابر 5.24 است. این موضوع نشان می‌دهد که با مصرف سوخت يكسان در هر دو احتراق پاشش

جدول ۹ مقایسه عملکرد و آلایندگی موتور EF7 در شرایط مختلف.

Table 9 The comparison of performance and emissions of EF7 engine for different conditions.

پارامتر	پاشش راهگاهی مرحله‌ای	پاشش یک مرحله‌ای	پاشش دو مرحله‌ای	پاشش دو مرحله‌ای 90%-10%
فشار متوسط مؤثر اندیکاتوری (بار)	5.30	5.32	5.28	5.05
مونوکسید کربن (٪)	0.43	0.48	0.43	0.59
دی‌اکسید کربن (٪)	11.78	11.79	11.75	12.59
اکسیدهای نیتروژن (PPM)	1238	1380	1095	2000
لامبدا	1.041	1.034	1.045	1.045
جرم فیلم سوخت (kg)	5.34e-08	6.90e-08	6.82e-08	....
ماکریم دمای احتراق (K)	2315	2318	2312	2420

د) در پاشش دو مرحله‌ای سوخت تأخیر زیاد در پاشش ثانویه سبب تشکیل مخلوط غنی حول شمع می‌شود اما نتایج نشان داد که اشتغال‌پذیری مخلوط همگن با پاشش ثانویه سوخت در 500° CA به مرتب بیشتر است. همچنین با تغییر نسبت سوخت پاشش شده در دو مرحله می‌توان کنترل بیشتری بر نسبت همارزی مخلوط در لحظه جرقه‌زنی داشت. نتایج نشان داد که مخلوط نسبتاً همگن در نسبت پاشش 80%-20% با نسبت همارزی 1.15 حول شمع احتراق بهتری را نسبت به سایر حالت‌ها نتیجه می‌دهد. در پاشش دو مرحله‌ای سوخت با نسبت‌های 80%-20% و 90%-10% توان خروجی بهتری 4.7 و 5.1 درصد افزایش، اکسیدهای نیتروژن 38.1 و 6.4 درصد، مونوکسید کربن 19.4 و 28.3 درصد و دی‌اکسید کربن 6.4 درصد کاهش یافته‌است.

- فهرست علائم	
زاویه میل لنگ	CA
قطر قطره (m)	$d$
قطر نازل (m)	$D$
انرژی داخلی ( $\text{kgm}^2\text{s}^{-2}$ )	$e$
نیرو ( $\text{kgms}^{-2}$ )	$F$
نرخ آزادسازی گرما ( $\text{kgm}^2\text{s}^{-2}\theta^{-1}$ )	$HRR$
ضریب هدایت حرارتی ( $\text{kgmK}^{-1}\text{s}^{-3}$ )	$k$
عدد اونسورگ	$Oh$
فشار ( $\text{kgm}^{-1}\text{s}^{-2}$ )	$P$
شار حرارتی ( $\text{kgs}^{-3}$ )	$\dot{q}$
انحراف از معیار (s)	$s$
زمان (s)	$t$
سرعت ( $\text{ms}^{-1}$ )	$u$
حجم ( $\text{m}^3$ )	$v$
عدد ویر	$We$
علائم یونانی	
لرجه دینامیکی ( $\text{kgm}^{-1}\text{s}^{-1}$ )	$\mu$
نسبت گرمایی ویژه	$\gamma$
چگالی ( $\text{kgm}^{-3}$ )	$\rho$
کشش سطحی ( $\text{kgs}^{-2}$ )	$\sigma$

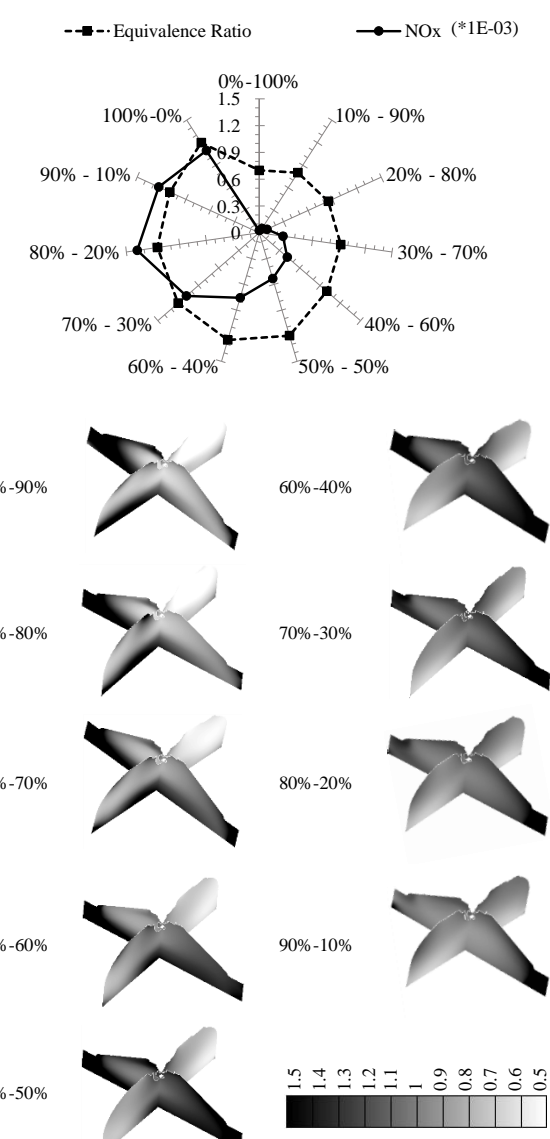


Fig. 20 The equivalence ratio near the spark plug at ignition timing and  $\text{NO}_x$  emission at exhaust valve opening for different proportions of primary and secondary injection.

شکل 20 نسبت همارزی در نزدیکی شمع در لحظه جرقه‌زنی و مقادیر اکسیدهای نیتروژن در لحظه بازشدن سوپاپ دود برای نسبت‌های مختلف پاشش اولیه و ثانویه.

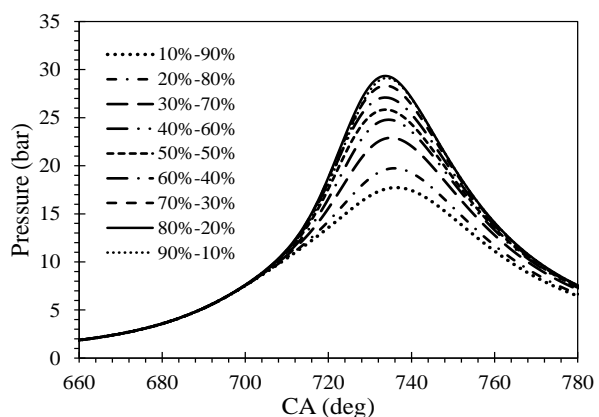


Fig. 21 The effect of injected fuel mass proportions at two-stage injection.

شکل 21 تأثیر نسبت‌های جرم سوخت پاشش شده در پاشش دو مرحله‌ای بر فشار محفظه.

- No. 1, pp. 38-50, 2016.
- [6] S. Sarmast, A. Shamekhi, M. Zia Basharhagh, A. Parivar, The effect of injector angle and start of injection on spray-wall interaction in gasoline direct injection engine, *Modares Mechanical Engineering*, Vol. 17, No. 1, pp. 95-105, 2017. (in Persian)  
[7] M. Costa, U. Sorge, L. Allocca, Increasing energy efficiency of a gasoline direct injection engine through optimal synchronization of single or double injection strategies, *Energy Conversion and Management*, Vol. 60, No. 1, pp. 77-86, 2012.  
[8] Zhaolei Zheng, Xuefeng Tian, Xiaoyu Zhang, Effects of split injection proportion and the second injection time on the mixture formation in a GDI engine under catalyst heating mode using stratified charge strategy, *Applied Thermal Engineering*, Vol. 84, No. 1, pp. 237-245, 2015.  
[9] C. Iyer, J. Yi, Spray Pattern Optimization for the Duratec 3.5L EcoBoost Engine, *SAE International Journal*, Vol. 2, No. 1, pp. 1679-1689, No. 0099-01916, 2009.  
[10] M. Costa, F. Catapano, P. Sementa, U. Sorge, B.M. Vaglieco, Mixture preparation and combustion in a GDI engine under stoichiometric or lean charge: an experimental and numerical study on an optically accessible engine, *Applied Energy*, Vol. 180, No. 1, pp. 86-103, 2016.  
[11] H. Zamani Haghghi, V. Hosseini, H. Afshin, L. Allocca, M. Baloo, Fuel direct injection to EF7 national engine in order to investigation of effect of late injection on mixture formation and combustion, *9th International Conference on Internal Combustion Engines and Oil (ICICE&O-9)*, Tehran, Iran, February 16-18, 2016. (in persian)  
[12] W. Edelbauer, Coupling of 3D Eulerian and Lagrangian Spray Approaches in Industrial Combustion Engine Simulations, *Journal of Energy and Power Engineering*, Vol. 8, No. 1, pp. 190-200, 2014.  
[13] W. A. Sirignano, *Fluid dynamics and transport of droplets and sprays*, Second Edition, pp. 4-6, United Kingdom: Cambridge University Press, 1999.  
[14] M. Costa, U. Sorge, L. Allocca, Numerical study of the mixture formation process in a four-stroke GDI engine for two-wheel applications, *Simulation Modelling Practice and Theory*, Vol. 19, No. 4, pp. 1212-1226, 2011.  
[15] I. Semenov, P. Utkin, I. Akhmedyanov, P. Pasynkov, A. Popov, Mathematical models and numerical algorithm for the dynamics of gas-droplets flows investigations using high performance computing, *International Conference on Parallel and Distributed Computing Systems*, Ukraine, Kharkiv, March 13-14, 2013.  
[16] M.M. Naghizadeh, A.R. Ghahremani, M.H. Saidi, Numerical simulation of spray characteristics of bio-ethanol and its blend with gasoline in a direct injection combustion chamber, *Modares Mechanical Engineering*, Vol. 15, No. 4, pp. 112-122, 2015. (in Persian)  
[17] M. Zellat, D. Abouri, T. Conte, Advanced modeling of DI Diesel Engines: Investigations on Combustion, High EGR level and multiple-injection Application to DI Diesel Combustion Optimization, *15th International Multidimensional Engine User's Meeting at the SAE Congress*, Detroit, April-10, 2005.  
[18] J. B. Heywood, *Internal Combustion Engine Fundamentals*, pp. 386-388, New York: McGraw-Hill, 1988.  
[19] M. Mhlbauer, *Modelling wall interactions of a high-pressure, hollow cone spray*, PhD thesis, Technical University of Darmstadt, 2009.

تنش برشی ( $\text{kgm}^{-1}\text{s}^{-2}$ )	$\tau$
طول موج بی بعد ناپایدارترین موج در سطح تماس مایع-گاز	$\lambda^*$
دلتای کرونکر	$\delta$
عدد بی بعد	$\Pi$
زاویه میل لنگ	$\theta$
زیرنویس‌ها	
مقدار متوسط	Ave
بخار	$g$
آنالپی	$h$
جهت مختصات	$i, j, k$
مایع	$l$
جرم	$m$
فشاری	$p$
نسبی	rel
حجمی	$V$

## 9- تقدیر و تشکر

نویسنده‌گان مقاله بدن وسیله تشکر و قدردانی خود را از مرکز تحقیق، طراحی و تولید موتور ایران خودرو (ایپکو) و مرکز پژوهش‌های سریع دانشگاه صنعتی خواجه نصیرالدین طوسی ابراز می‌دارند.

## 10- مراجع

- [1] F. Zhao, T. W. Asmus, D. N. Assanis, J. E. Dec, J. A. Eng, P. M. Najt, *Homogeneous Charge Compression Ignition (HCCI) Engines: Key Research and Development Issues*, pp. 1-15, United States: SAE International, 2003.
- [2] M. Bahattin Celik, B. Ozdalyan, *Fuel Injection*, Daniela Siano (Ed.), *Gasoline Direct Injection*, pp. 6-10, InTechOpen, 2010.
- [3] G. P. Merker, C. Schwarz, G. Stiesch, F. Otto, *Simulating Combustion: Simulation of combustion and pollutant formation for engine-development*, First Edition, pp. 83-85, Springer: Verlag Berlin Heidelberg, 2004.
- [4] A. M. K. P. Taylor, Science review of internal combustion engines, *Energy Policy*, Vol. 36, No. 12, pp. 4657-4667, 2008.
- [5] S. Boccardi, F. Catapano, M. Costa, P. Sementa, U. Sorge, B. M. Vaglieco, Optimization of a GDI engine operation in the absence of knocking through numerical 1D and 3D modeling, *Advances in Engineering Software*, Vol. 95,